# 免震用積層ゴムの挙動シミュレーション

# 日本大学理工学研究科土木工学専攻 学生会員 〇小南雄一郎 日本大学理工学部土木工学科 正会員 塩尻弘雄

#### 1. 研究の目的と意義

従来積層ゴムの性能は模型実験を行うことにより確認してきたが、手間と費用の削減を考慮した場合、コンピューター上で挙動シミュレーションを行う CAE が望ましい。しかし、通常の有限要素法はかなりの計算量を必要とする。

そこで、より簡易に精度の高い計算の可能な積層ゴムの挙動シミュレーションプログラムを開発し、解析の信頼性と有効性について考察する。

#### 2. 解析方法

ゴムの変形テンソル第 1、第 2、第 3 の不変量を  $I_1$ 、 $I_2$ 、 $I_3$ として、 $\hat{I}_1$ 、 $\hat{I}_2$ を次のように定義する。

$$\begin{split} I_1 &= \lambda_1^{\ 2} + \lambda_2^{\ 2} + \lambda_3^{\ 2} \\ I_2 &= \lambda_2^{\ 2} \lambda_3^{\ 2} + \lambda_3^{\ 2} \lambda_1^{\ 2} + \lambda_1^{\ 2} \lambda_2^{\ 2} \\ I_3 &= \lambda_1^{\ 2} \lambda_2^{\ 2} \lambda_3^{\ 2} \end{split}$$
 ...(1)

$$\hat{I}_{1} = I_{1} / (I_{3})^{\frac{1}{3}}$$

$$\hat{I}_{2} = I_{2} / (I_{3})^{\frac{2}{3}}$$
...(2)

ここで、λ,は伸張比である。

せん断歪みと体積歪みは、発生のメカニズムが全く異なるため独立として考える。 せん断歪みエネルギー関数を  $W_{\mathfrak{s}(i_1,i_2)}$ 、 $I_3$  による付帯条件式を  $f(i_3)$ 、圧力 P によるコンプリメンタルエネルギーを  $g_{(P)}$ とすると混合型の定式化において歪みエネルギー関数 W は次のようになる

$$W = W_B(\hat{I}_1, \hat{I}_2) + f(I_3)P - g(P)$$
 ...(3)  

$$= \nabla f(I_3) = \sqrt{I_3} - 1$$

変位と圧力をそれぞれ独立した変数とし、仮想仕事の原理 を適用する(式(4)、(5))。 グリーンの歪みテンソル $\gamma$  において $\bar{\gamma}$  頃は線形部分を、 $\hat{\gamma}$  頃は非線形部分を表す。

$$\begin{split} &\int_{v_0} D_{ijkl} \Delta \overline{\gamma}_{kl} \delta \Delta \overline{\gamma}_{ij} dv + \int_{v_0} t_{ij} \delta \Delta \hat{\gamma}_{ij} dv + \int_{v_0} t_{ij} \delta \Delta \overline{\gamma}_{ij} dv \\ &- 2 \! \int_{v_0} c_{ij}^{-1} \frac{\partial f_{(I_3)}}{\partial I_3} I_3 \Delta P \delta \Delta \overline{\gamma}_{ij} dv = 0 \end{split} \tag{4}$$

$$\int_{v_0} \frac{\partial^2 g_{(P)}}{\partial P^2} \Delta P \delta \Delta P dv + \int_{v_0} \frac{\partial g_{(P)}}{\partial P} \delta \Delta P dv + \int_{v_0} \frac{\partial f_{(I_3)}}{\partial I_2} I_3 c_{ij}^{-1} \Delta \overline{\gamma}_{ij} \delta \Delta P dv + \int_{v_0} f_{(I_3)} \delta \Delta P dv = 0$$
(5)

式(5)における 4 階のテンソルDipa はゴムを超弾性体と見なして、式(6)で表されるものとする。

$$D_{ijkl} = \frac{\partial^2 W_B}{\partial \gamma_{kl} \partial \gamma_{ij}} - 2 \frac{\partial}{\partial \gamma_{kl}} \left[ c_{ij}^{-1} \frac{\partial^2 f_{(13)}}{\partial I_3} I_3 P \right] \qquad \cdots (6)$$

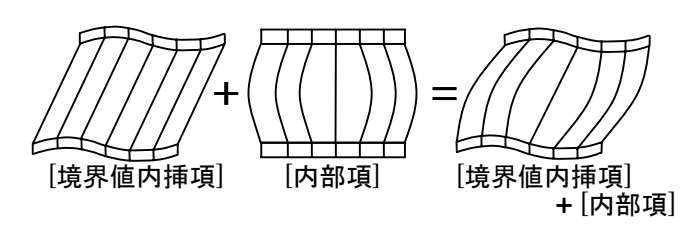


図 1: 内挿関数詳細

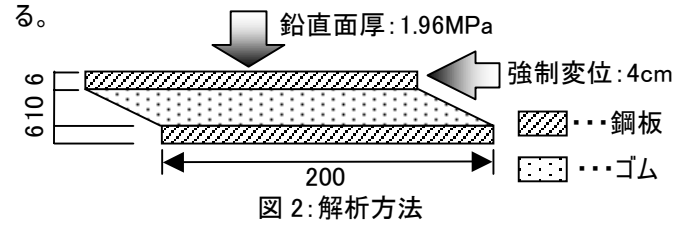
キーワード:積層ゴム、有限要素法、数値解析

連絡先 : 〒101-8303 東京都千代田区神田駿河台 1-8-14 日本大学大学院理工学研究科 電話/FAX:03-3259-0876

$$u_{(t,s)} = \begin{bmatrix} \frac{a-s}{a} \left\{ u_{st} - tt(1-\cos\phi_{0t}) + u_{1}\sin\phi_{0t} - \frac{H}{2}\sin\phi_{1} \right\} \\ + \frac{s}{a} \left\{ u_{sj} - tt(1-\cos\phi_{0t}) + u_{j}\sin\phi_{0j} + \frac{H}{2}\sin\phi_{j} \right\} \end{bmatrix} + \sum_{m=1}^{m} \sin\frac{m\pi s}{a} \begin{cases} UM(m,j)\frac{tt}{b_{j}} + UM(m,j-1)\frac{b_{j}-tt}{b_{j}} \\ + \sum_{k=0}^{m} \int_{b_{j}} U(j-2)\frac{tt(j-2)}{b_{j}} \int_{b_{j}} U(j-2)\frac{tt(j-2$$

## 3. 解析の対象

橋梁に多用される四辺形断面の積層ゴムを解析の対象とする(図2)。支圧面の平面寸法20×20cm、ゴム層総数1、ゴム厚1cm、鋼板枚数2、鋼板厚0.6cmとし、圧縮応力1.96MPaをかけた後、水平方向に最大強制変位4cmを与え



解析モデルには以下のモデルを用いる。



図 3: 一層一要素モデル A (全自由度 62)



図 4: 一層二要素モデル B (全自由度 59)



図 5: 一層四要素モデル C (全自由度 220)



図 6: 一層四要素モデル D (全自由度 220)

## 4. 解析結果

解析結果を図 7、図 8 に示す。モデルの差が大きく現れるのは鉛直歪みであり、大きな鉛直歪みを得るモデルがより正確と考えられる。ここで、水平・鉛直歪みは水平・鉛直方向の変位とゴムの総厚さとの比を表す。

図7はそれぞれ同程度の 自由度を有する場合の、要 素分割による影響を検討し た。同程度の自由度でも要 素を分割しているモデル B の 方が鉛直歪みが大きい。

図8はそれぞれ同一の自由度、同一の分割数で、メッシュ間隔の影響について検討した。端部を細かく切っているモデルDの方が鉛直歪みが大きい。端部は歪みが大きく、その部分を細かく分割したためだと考えられる。

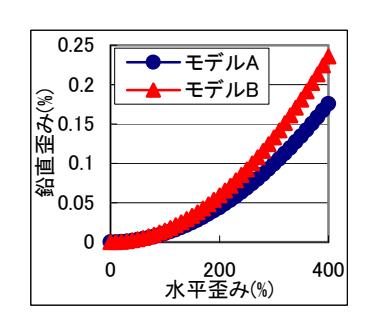


図 7:鉛直歪みの比較

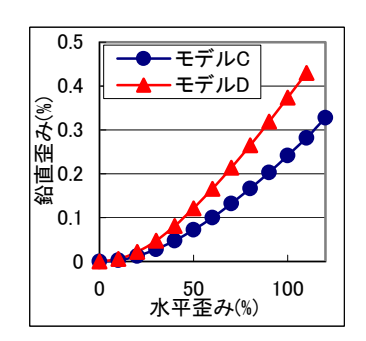


図 8:鉛直歪みの比較

#### 5. まとめ

今回開発したプログラムは、内挿関数を区分多項式とし、 区分の数、内挿関数の次数、各区分の寸法を変化させること により精度の高い解析が出来る。